

## 7 Literaturangaben

Hansen, U.A., Zur Frage der Vergleichbarkeit von Deckwerken unterschiedlicher Trockenrohdichte. Gutachterliche Stellungnahme, Heide, 1994

Hartwig, E., Lammen, C., Untersuchungen über die Besiedlung von Schlackesteinen im Wasserwechselbereich mit Pflanzen und Tieren. Institut für Naturschutz- und Umweltschutzforschung (INUF) des Verein Jordsand. Ahrensburg, 1990

Hartwig, E., Lammen, C., Vergleichende Untersuchungen zur mikroskopischen pflanzlichen und tierischen Besiedlung von Natur- und Schlackesteinen auf einem Probedeckwerk im Süßwasserbereich der Tiden-Elbe. Institut für Naturschutz- und Umweltschutzforschung (INUF) des Verein Jordsand. Ahrensburg, 1993

Khorasani, R., Mineralogisch-petrographisch-geochemische Untersuchungen an im Wasserbau eingesetzten Eisensilikat-Gesteinen der Norddeutschen Affinerie Hamburg zur Beurteilung von Verwitterungsbeständigkeit, Langzeitverhalten und Umweltverträglichkeit, Fachhochschule Hamburg, Fachbereich Bauingenieurwesen, Hamburg, 1998

Langecker, T.G., Hartwig, E., Akkumulation und Effekte von Schwermetallen bei weidenden Makrozoobentzosarten (hier *Lottorina littorea*, die Gemeine Strandschnecke) auf Natur- und Schlackesteinen im Wasserwechselbereich. Verein Jordsand, Ahrensburg, 1998

# 1. Anhang: Zusammenstellung der einzelnen Sedimentuntersuchungen aus den Untersuchungsfeldern im Probejahr 1998

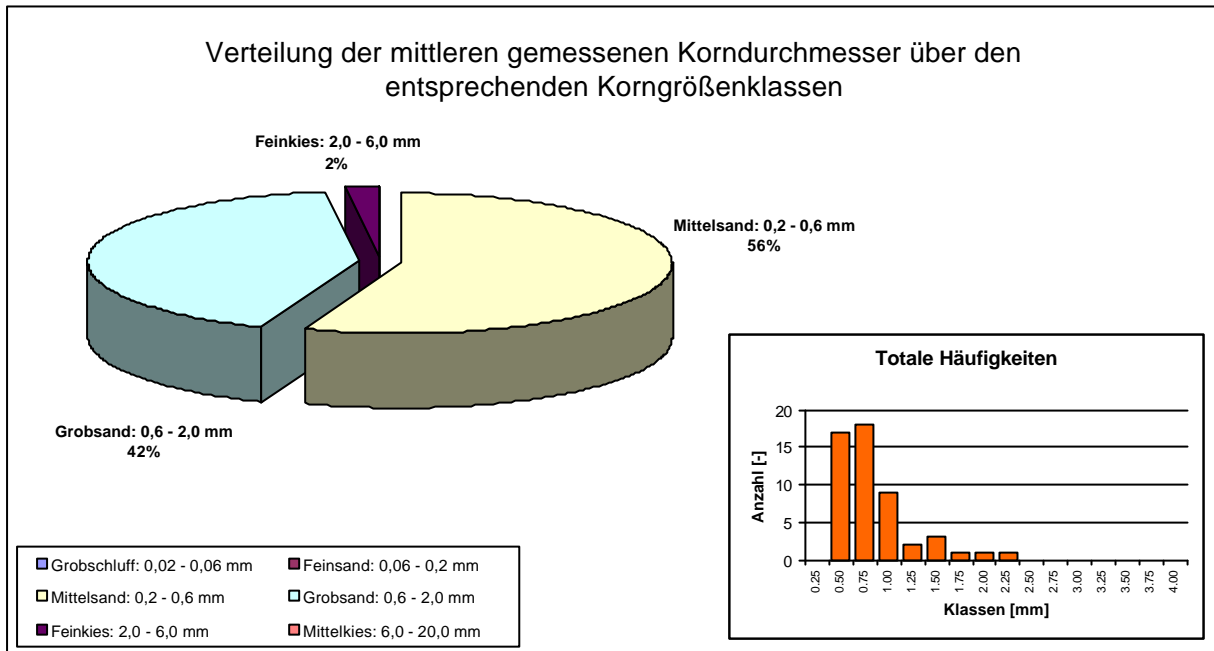


Abbildung 71: Auswertung der Siebanalyse von Proben bei Elbekilometer 419,9

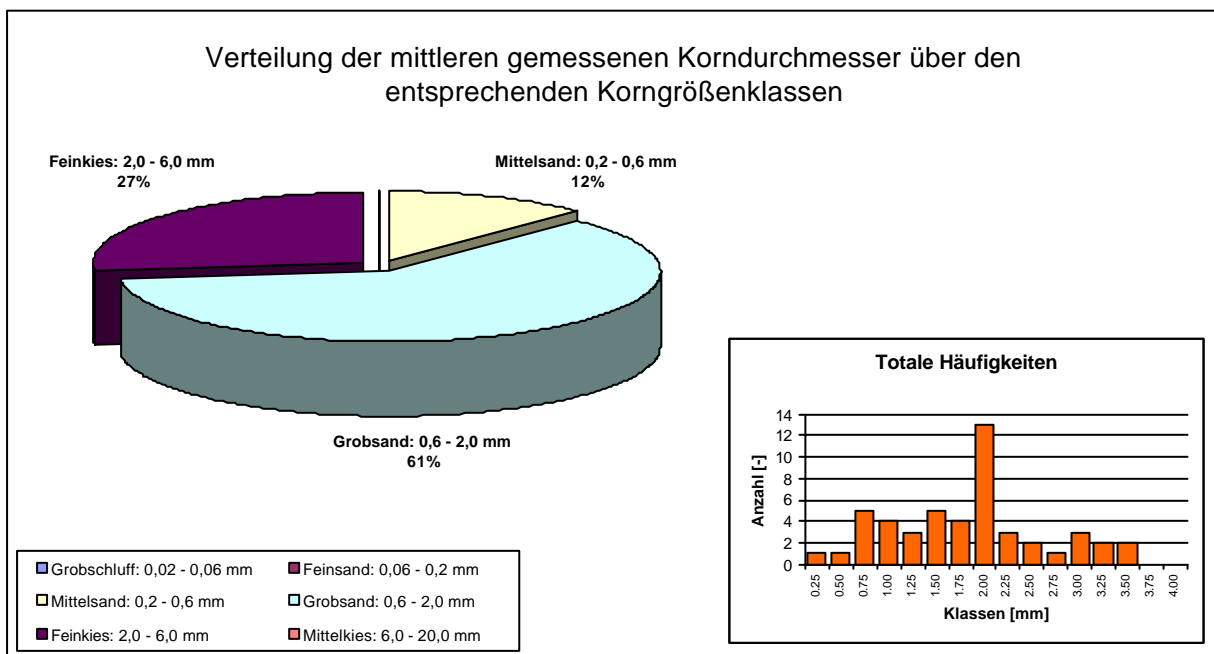


Abbildung 72: Auswertung der Siebanalyse von Proben bei Elbekilometer 423,4

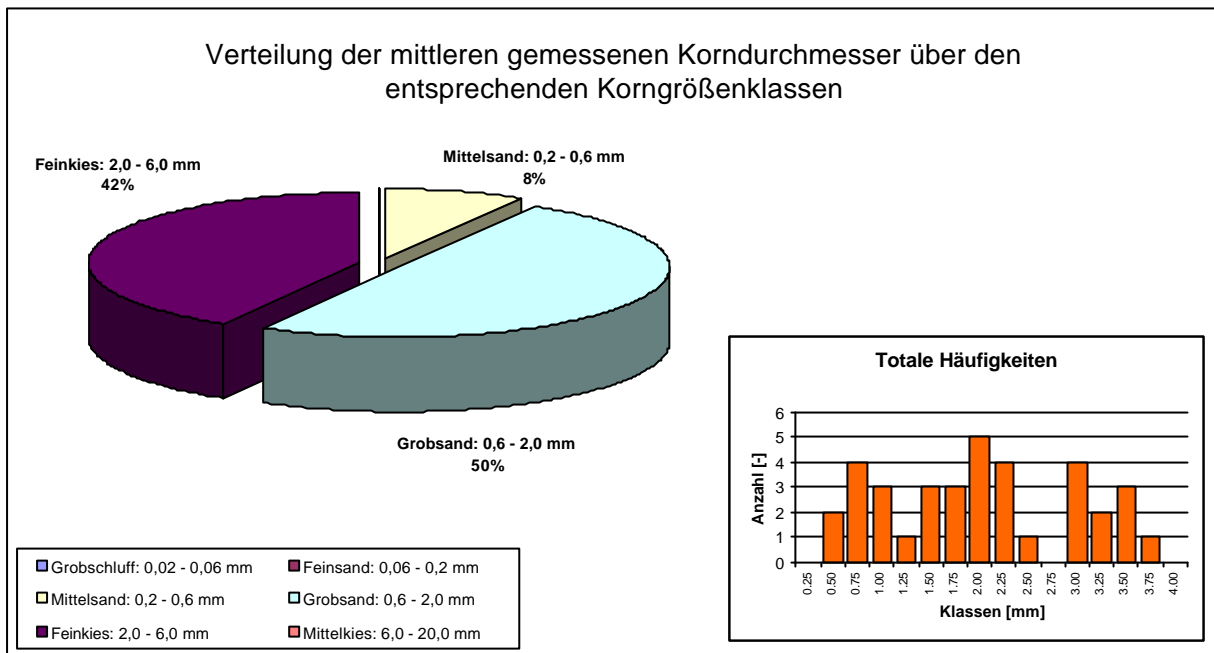


Abbildung 73: Auswertung der Siebanalyse von Proben bei Elbekilometer 425,2

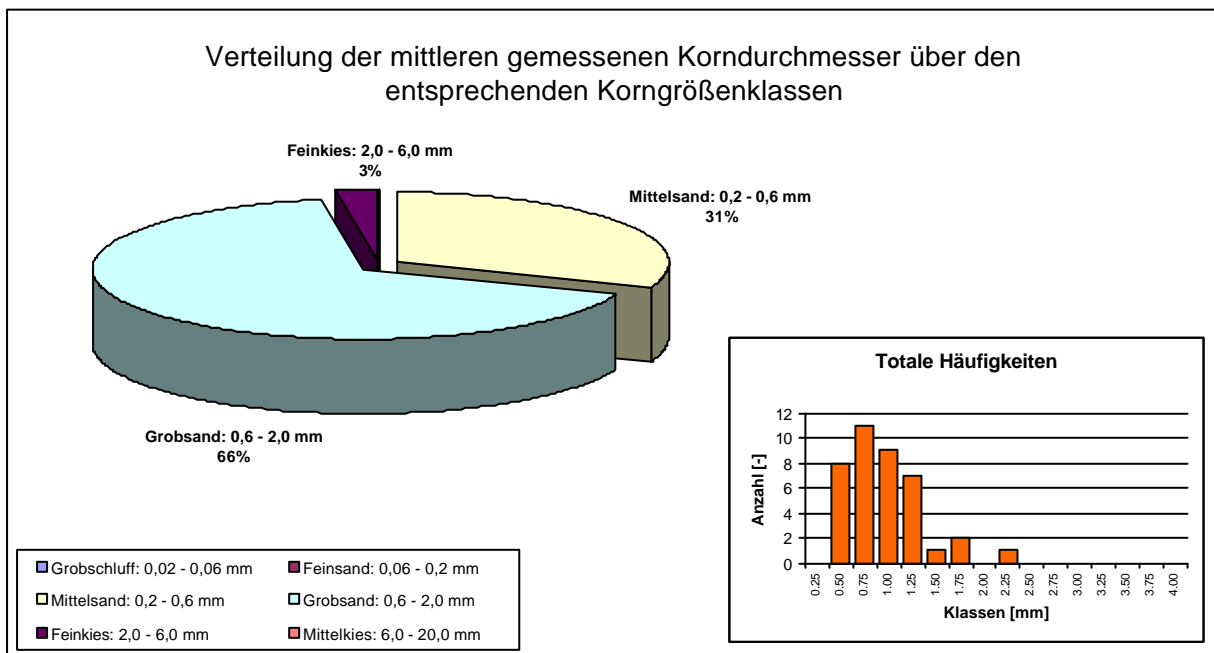


Abbildung 74: Auswertung der Siebanalyse von Proben bei Elbekilometer 427

# 1. Anhang: Zusammenstellung der einzelnen Sedimentuntersuchungen aus den Untersuchungsfeldern im Probejahr 1999

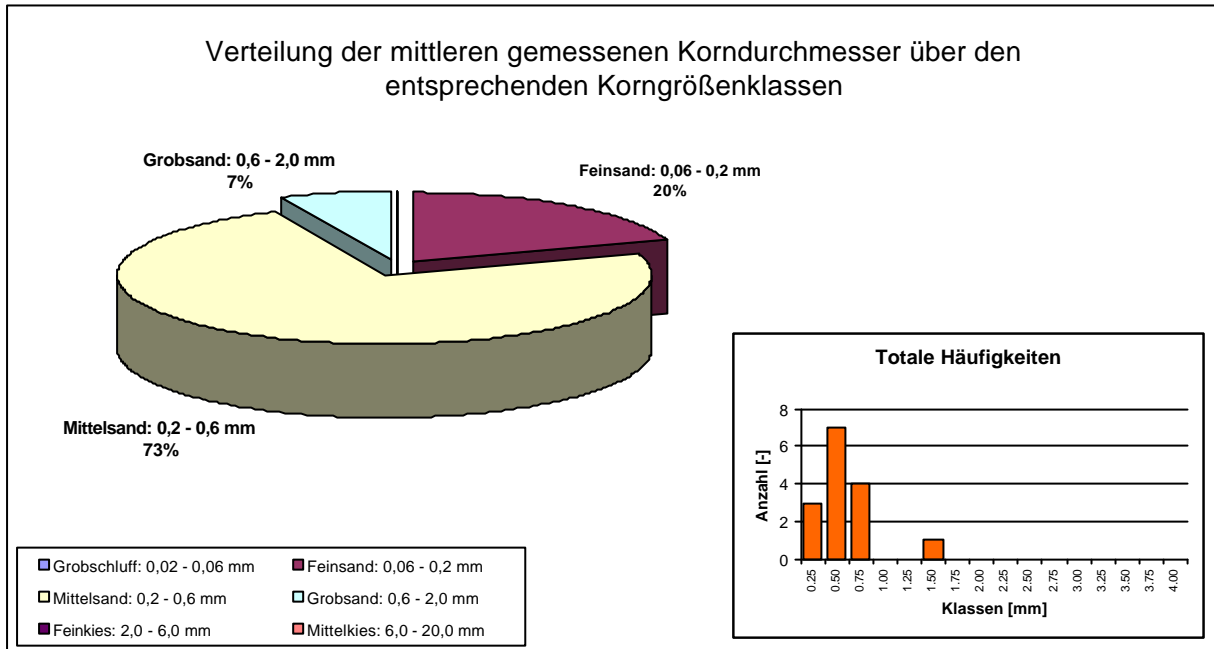


Abbildung 75: Auswertung der Siebanalyse von Proben bei Elbekilometer 419,9

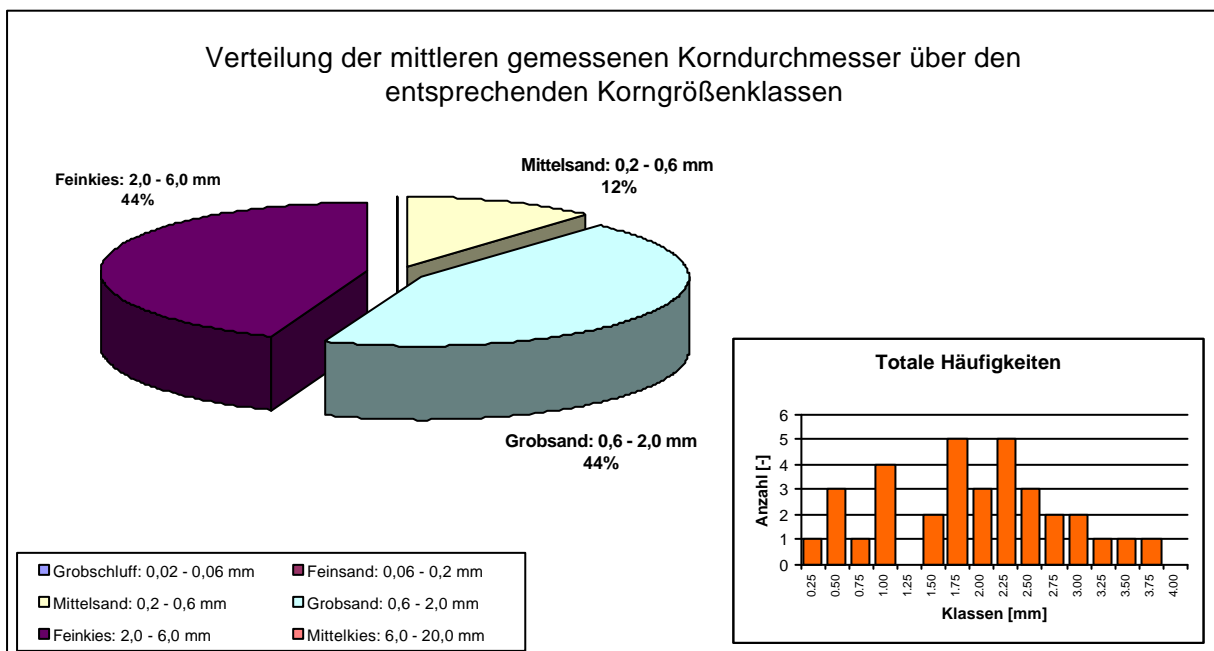


Abbildung 76: Auswertung der Siebanalyse von Proben bei Elbekilometer 423,4

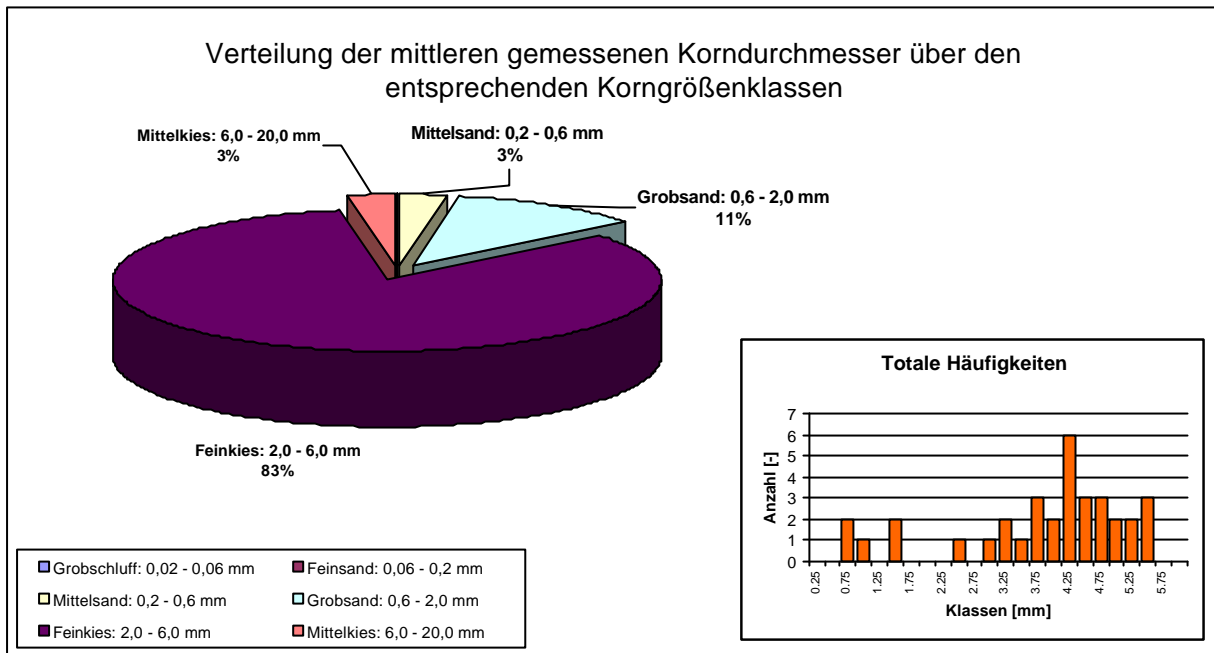


Abbildung 77: Auswertung der Siebanalyse von Proben bei Elbekilometer 425,2

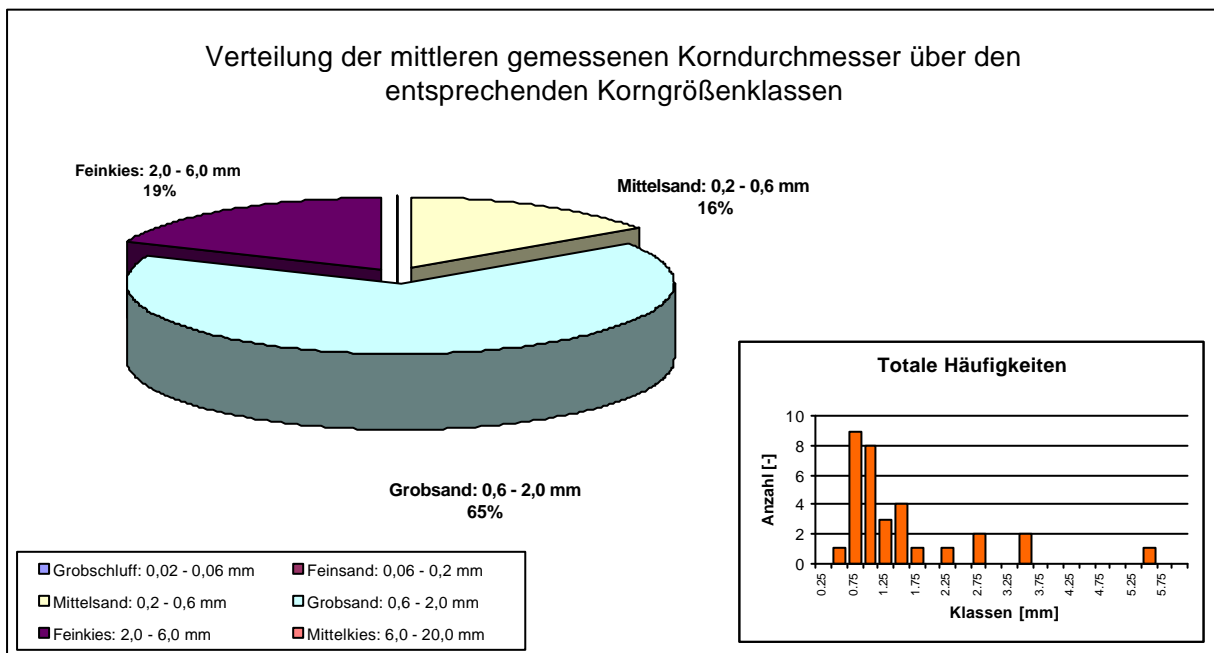


Abbildung 78: Auswertung der Siebanalyse von Proben bei Elbekilometer 427

## 2. Anhang: Verteilung der Wasserspiegellagen am Pegel Havelberg in den Jahren vor der Untersuchung

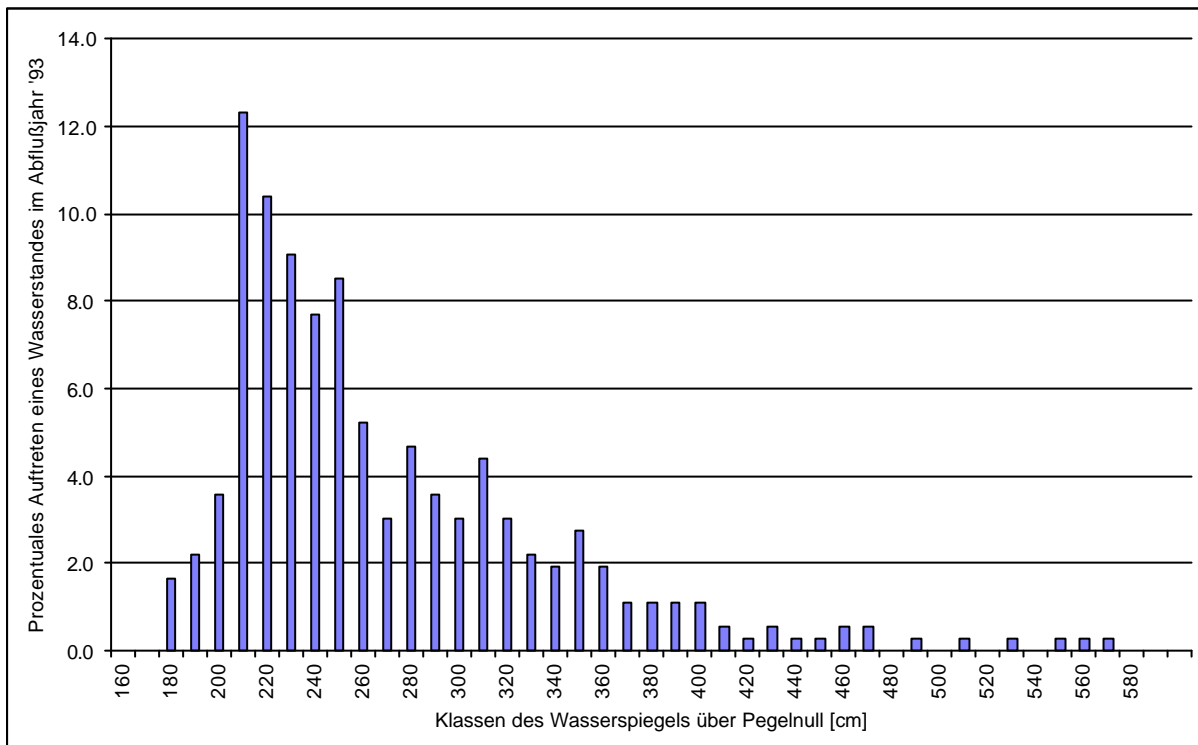


Abbildung 79: Verteilung der Wasserspiegellagen am Pegel Havelberg 1993 in 10 cm Klassen

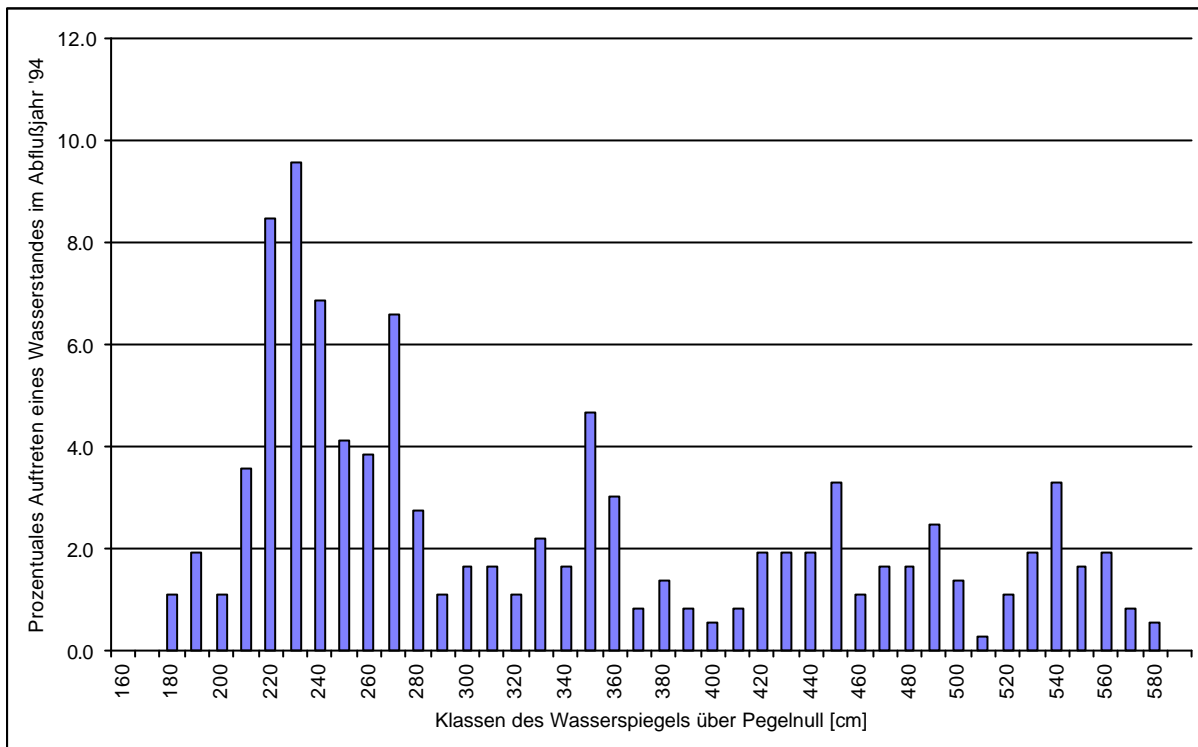


Abbildung 80: Verteilung der Wasserspiegellagen am Pegel Havelberg 1994 in Klassen der Breite 10cm

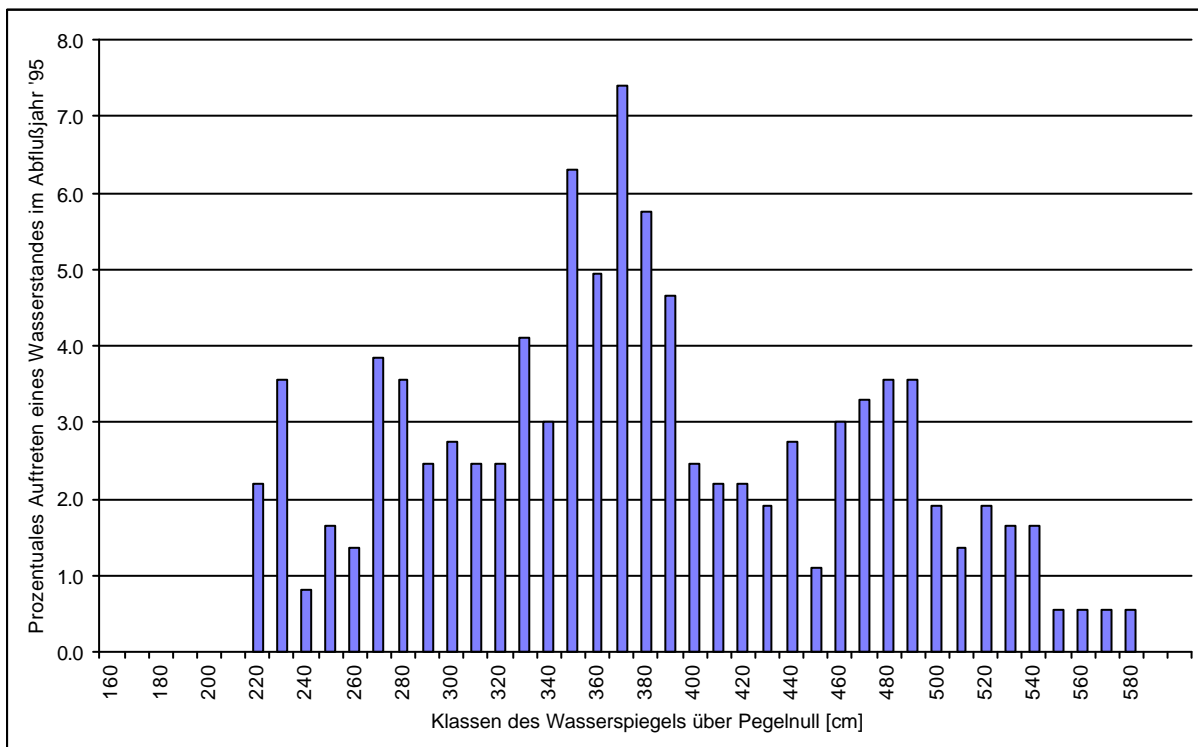


Abbildung 81: Verteilung der Wasserspiegellagen am Pegel Havelberg 1995 in 10 cm Klassen

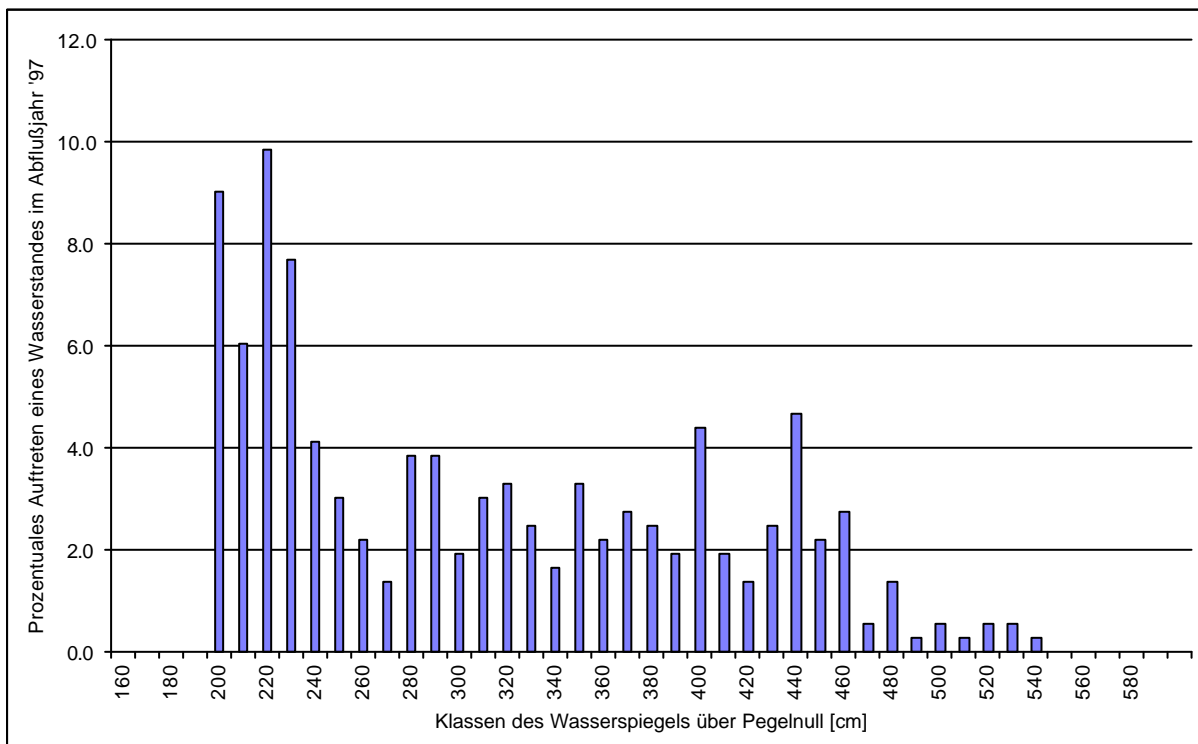
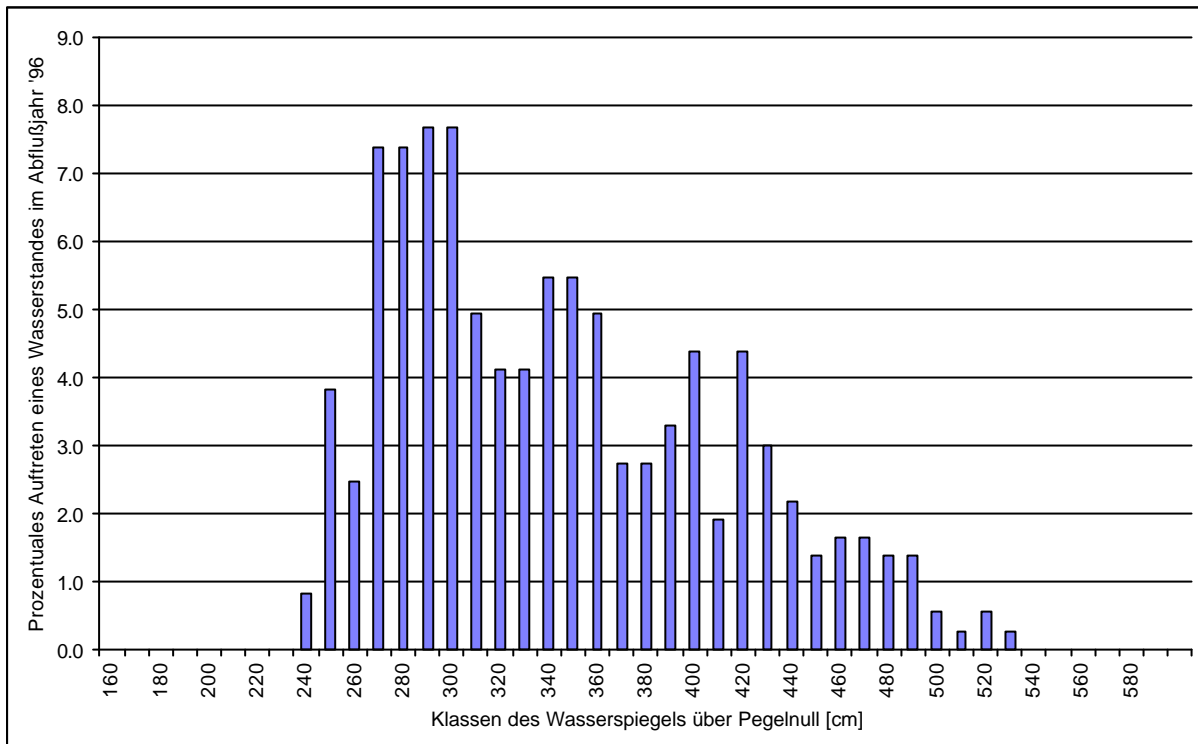


Abbildung 82: Verteilung der Wasserspiegellagen am Pegel Havelberg 1996 in 10 cm Klassen

Abbildung 83: Verteilung der Wasserspiegellagen am Pegel Havelberg 1997 in 10 cm Klassen



### 3. Anhang: Verteilung der berechneten Wassertiefen in den Untersuchungsfeldern

#### 1. Wassertiefen bei Elbekilometer 418,4

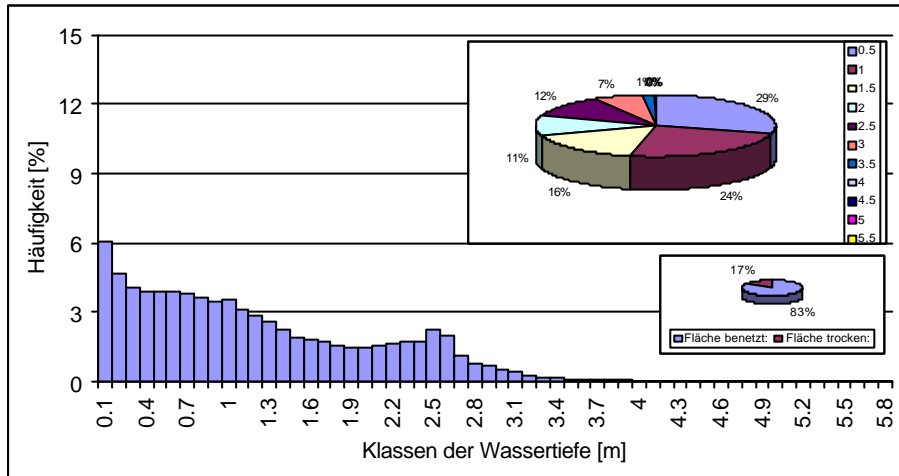


Abbildung 84: Wassertiefenverteilung am 19.03.1998

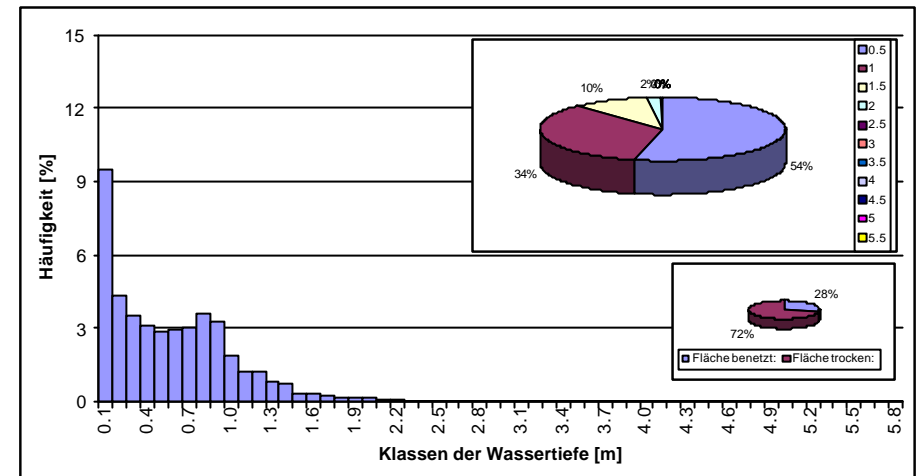


Abbildung 85: Wassertiefenverteilung im Buhnenfeld am 26.05.1998

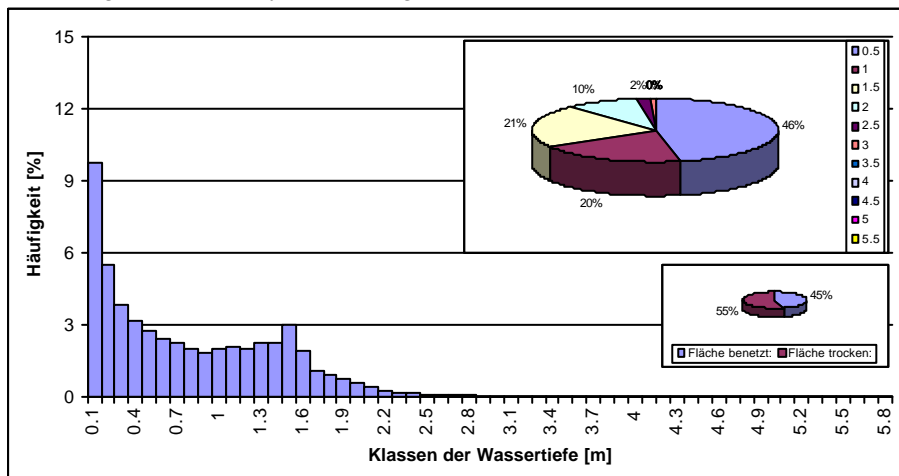


Abbildung 86: Wassertiefenverteilung im Buhnenfeld am 30.04.1998

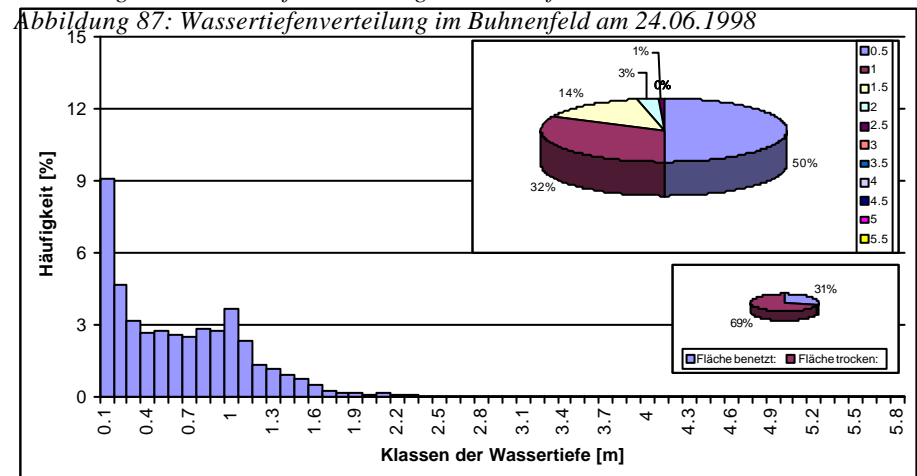


Abbildung 87: Wassertiefenverteilung im Buhnenfeld am 24.06.1998

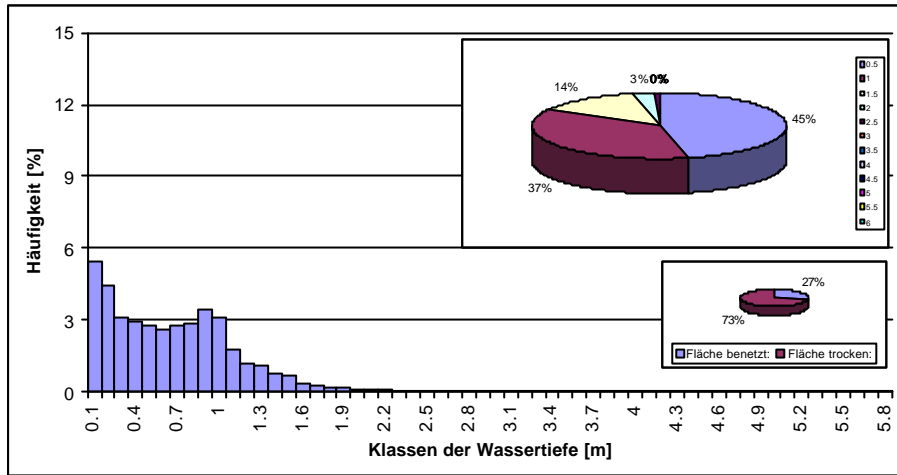


Abbildung 88: Wassertiefenverteilung im Bühnenfeld am 19.08.1998

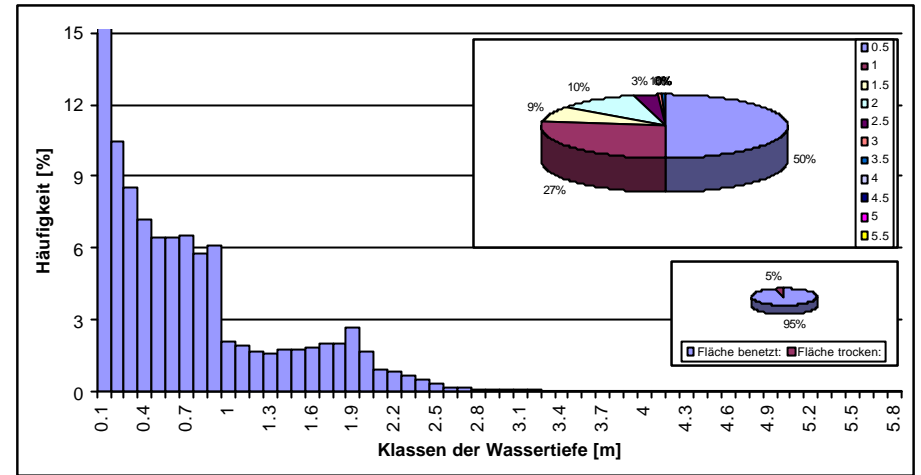


Abbildung 89: Wassertiefenverteilung im Bühnenfeld am 13.10.1998

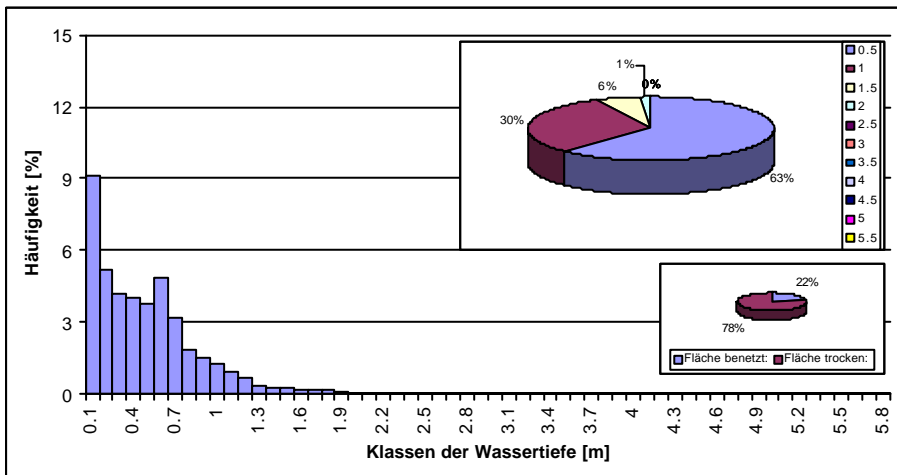


Abbildung 90: Wassertiefenverteilung im Bühnenfeld am 14.09.1998

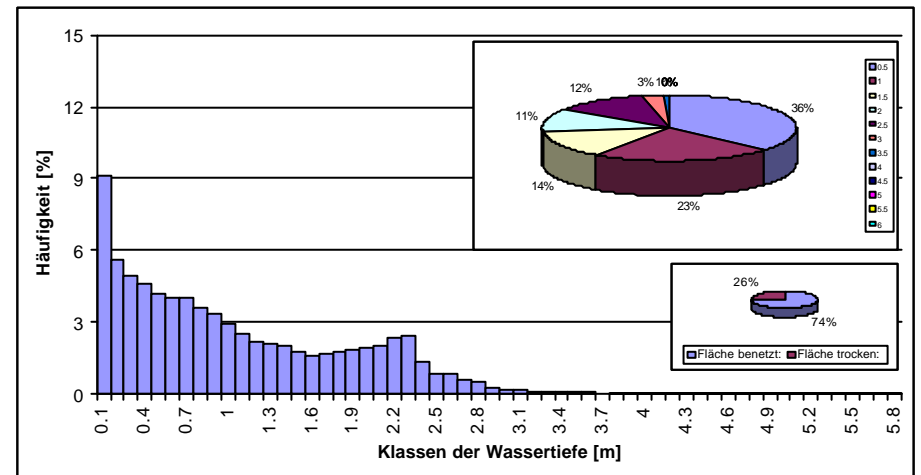


Abbildung 91: Wassertiefenverteilung im Bühnenfeld am 08.12.1998

## 2. Wassertiefen bei Elbekilometer 419,9

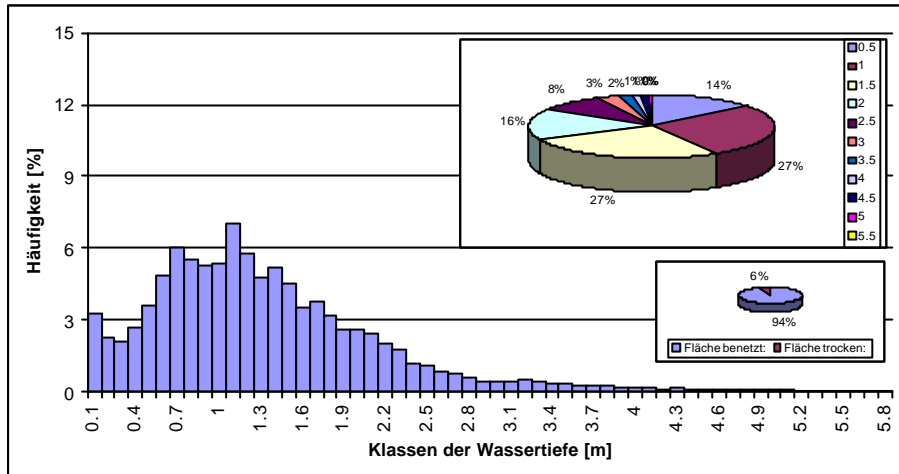


Abbildung 92: Wassertiefenverteilung im Buhnenfeld am 19.03.1998

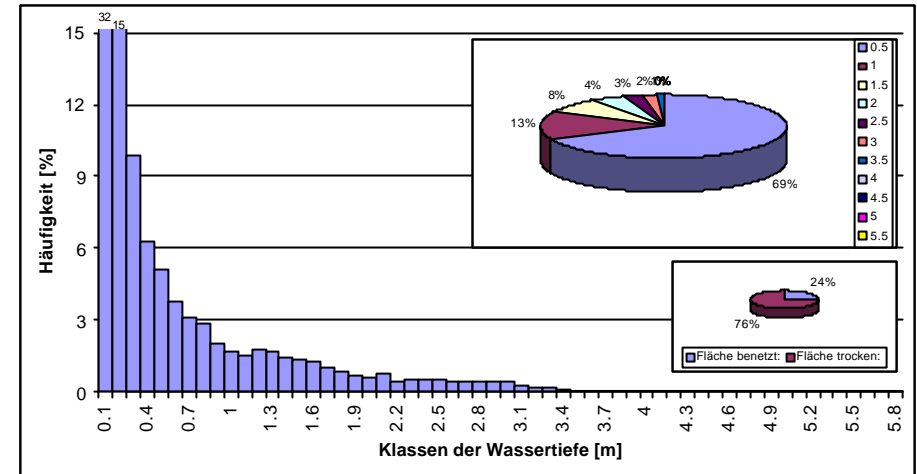


Abbildung 93: Wassertiefenverteilung im Buhnenfeld am 19.08.1998

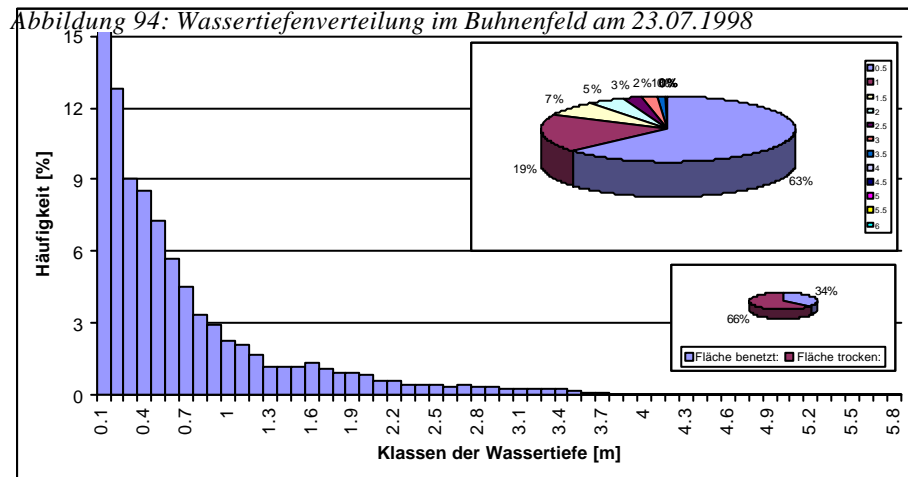


Abbildung 94: Wassertiefenverteilung im Buhnenfeld am 23.07.1998

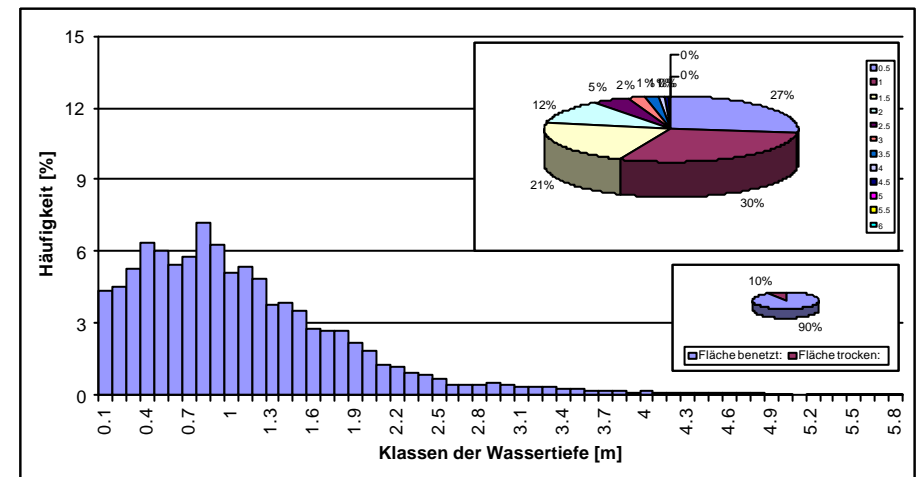


Abbildung 95: Wassertiefenverteilung im Buhnenfeld am 19.08.1998

### 3. Wassertiefen bei Elbekilometer 423,4

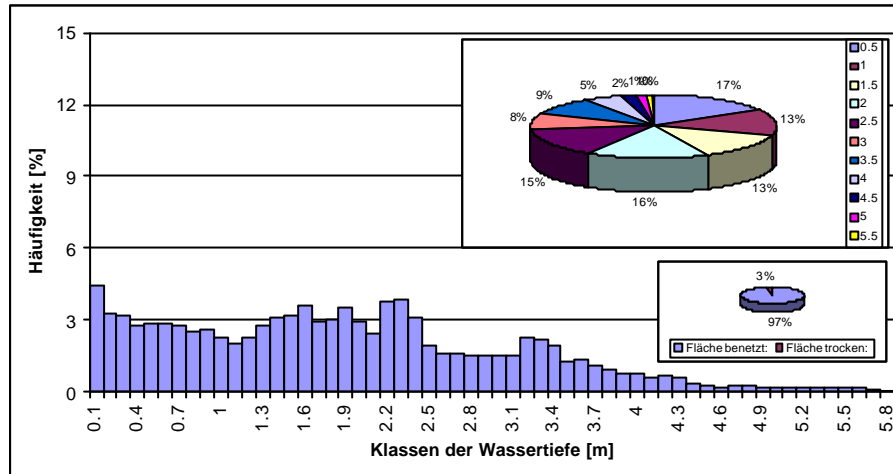


Abbildung 96: Wassertiefenverteilung im Buhnenfeld am 19.03.1998

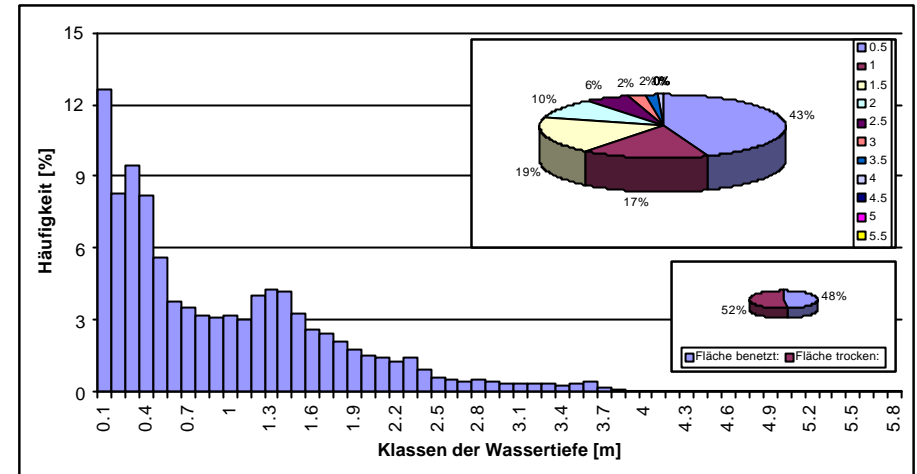


Abbildung 97: Wassertiefenverteilung im Buhnenfeld am 19.08.1998

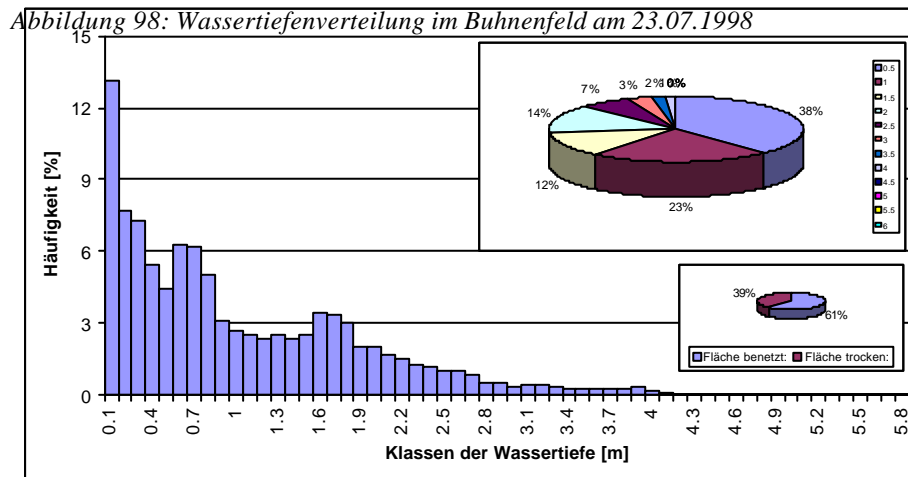


Abbildung 98: Wassertiefenverteilung im Buhnenfeld am 23.07.1998

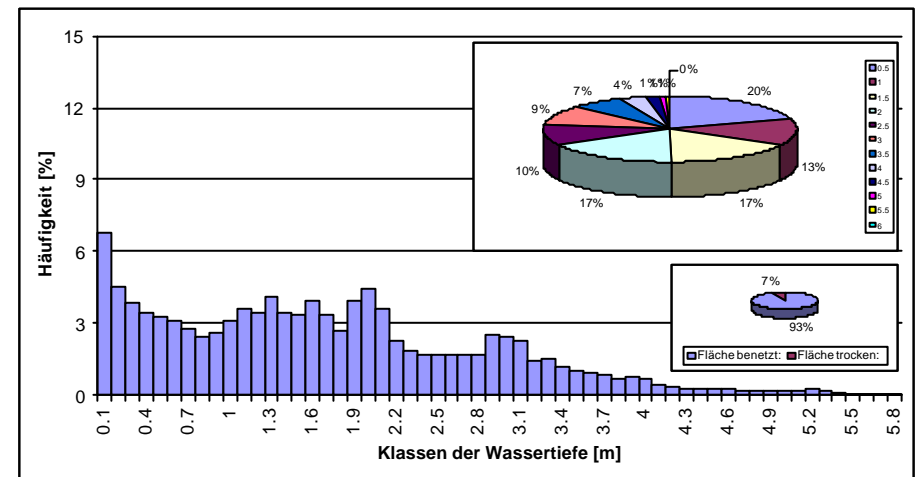


Abbildung 99: Wassertiefenverteilung im Buhnenfeld am 19.08.1998

#### 4. Wassertiefen bei Elbekilometer 425

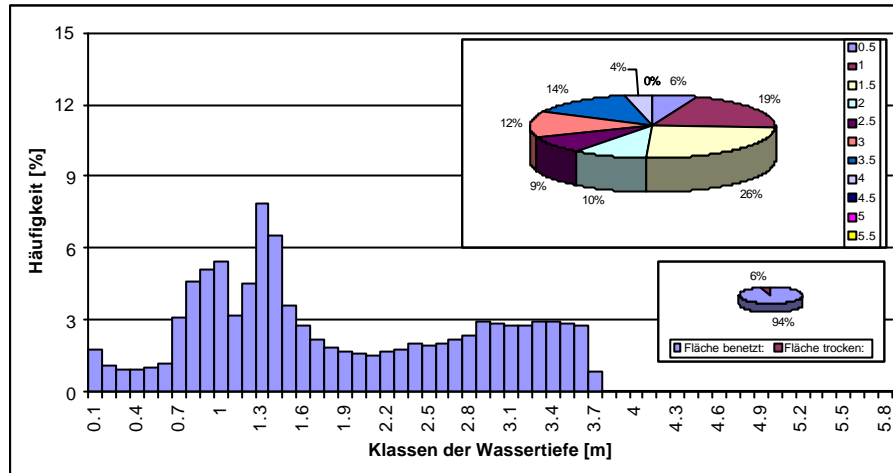


Abbildung 100: Wassertiefenverteilung im Buhnenfeld am 19.03.1998

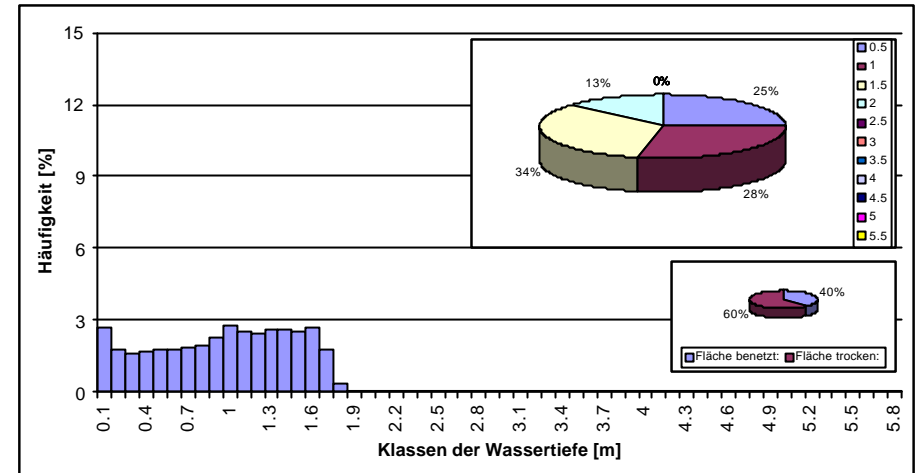


Abbildung 101: Wassertiefenverteilung im Buhnenfeld am 19.08.1998

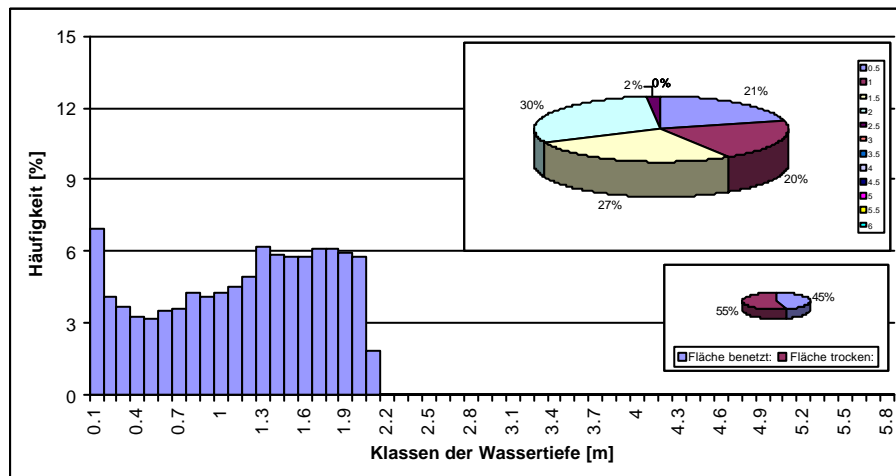


Abbildung 102: Wassertiefenverteilung im Buhnenfeld am 23.07.1998

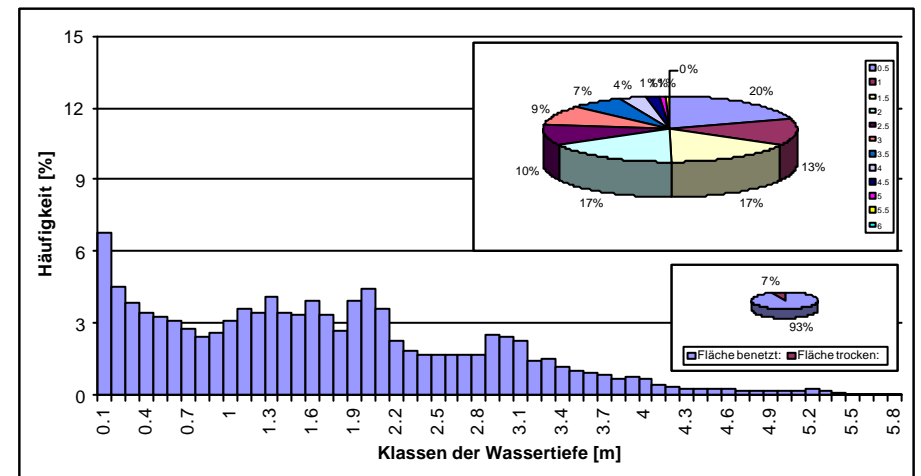


Abbildung 103: Wassertiefenverteilung im Buhnenfeld am 19.08.1998

## 5. Anhang: Verteilung der berechneten Geschwindigkeitsverteilung in den Untersuchungsfeldern

### 1. Geschwindigkeitsverteilung in den Untersuchungsmonaten bei Elbekilomter 419,9

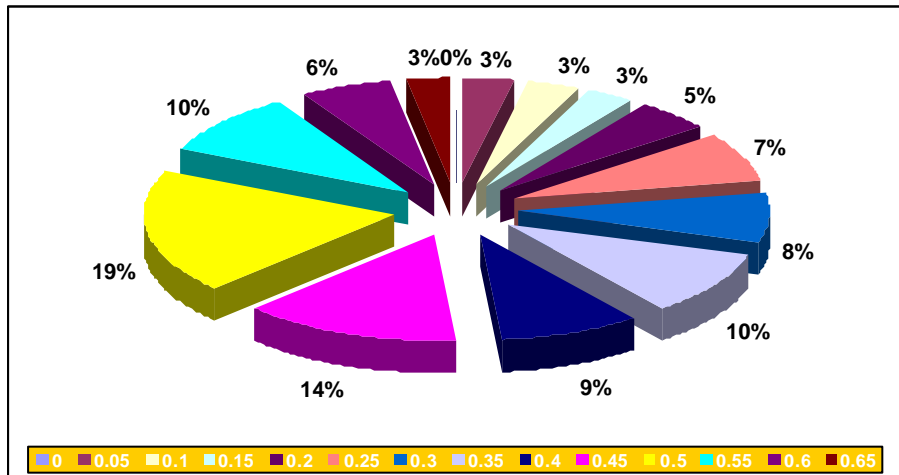


Abbildung 104: Geschwindigkeitsverteilung bei 419,9 am 19.03.1998

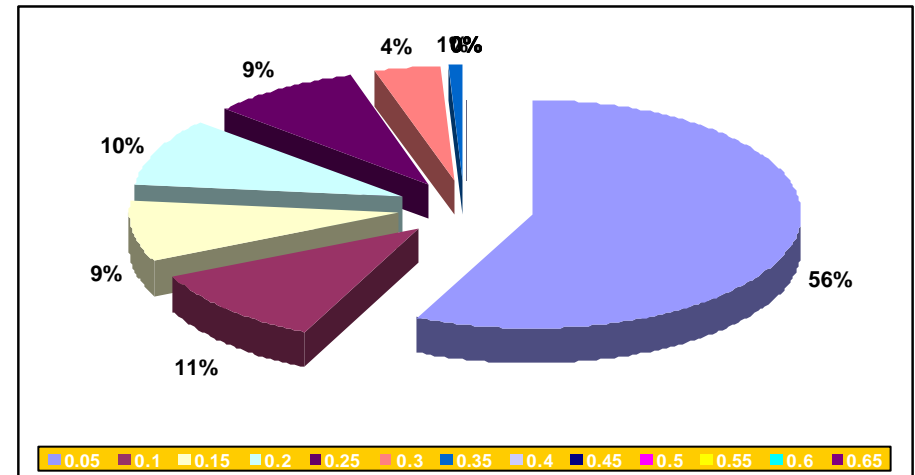


Abbildung 105: Geschwindigkeitsverteilung bei 419,9 am 26.05.1998

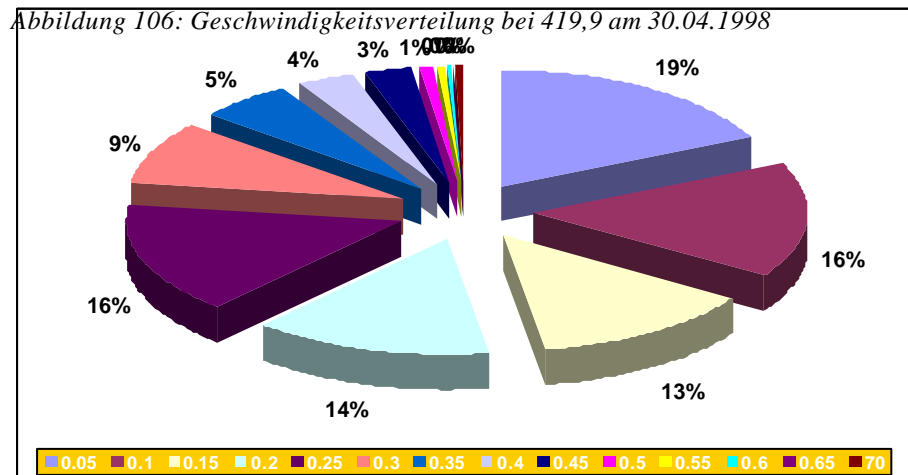


Abbildung 106: Geschwindigkeitsverteilung bei 419,9 am 30.04.1998

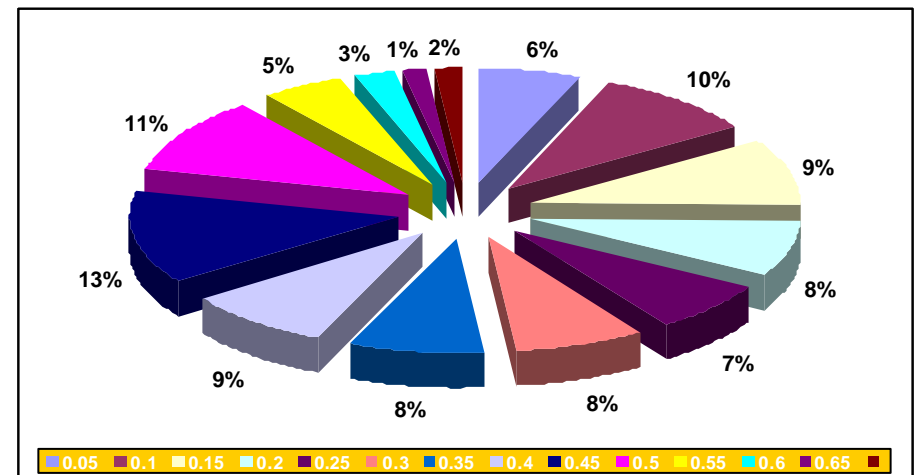


Abbildung 107: Geschwindigkeitsverteilung bei 419,9 am 08.12.1998

## 2. Verteilung der Strömungsgeschwindigkeit im Untersuchungsgebiet bei Elbekilometer 423,4

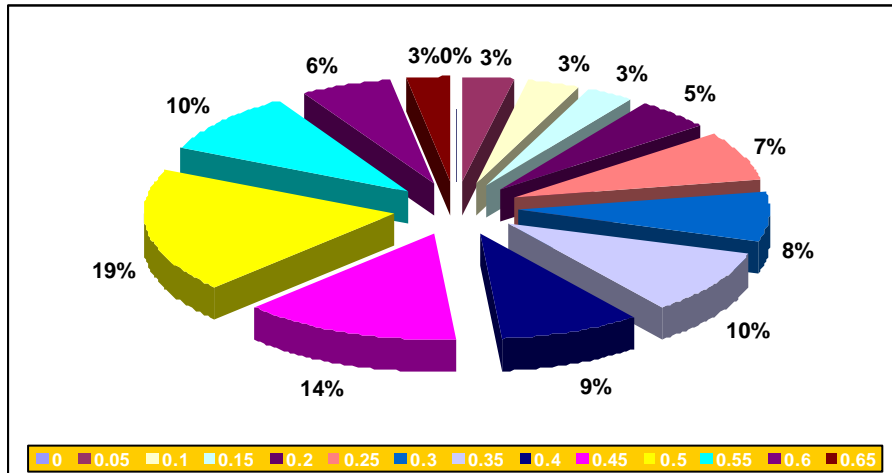


Abbildung 108: Geschwindigkeitsverteilung bei 419,9 am 19.03.1998

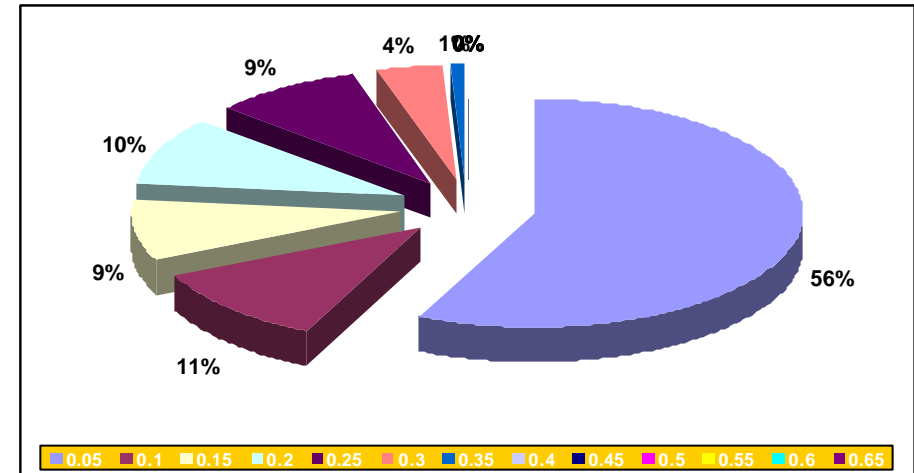


Abbildung 109: Geschwindigkeitsverteilung bei 419,9 am 26.05.1998

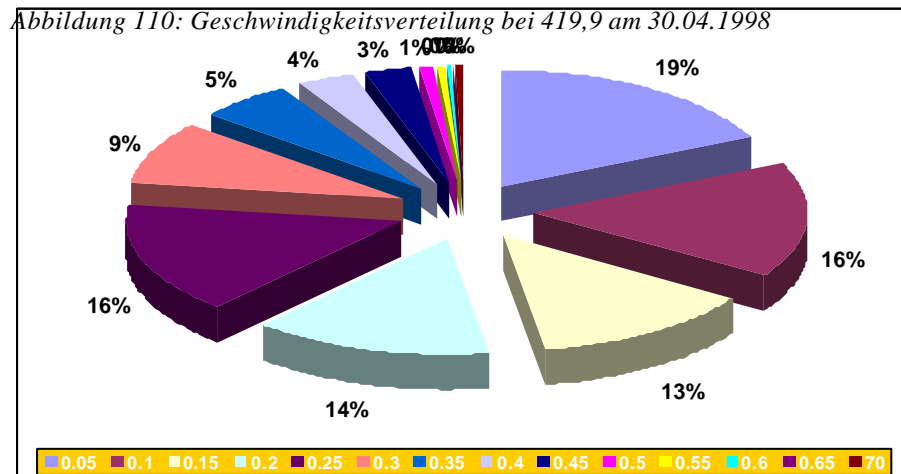


Abbildung 110: Geschwindigkeitsverteilung bei 419,9 am 30.04.1998

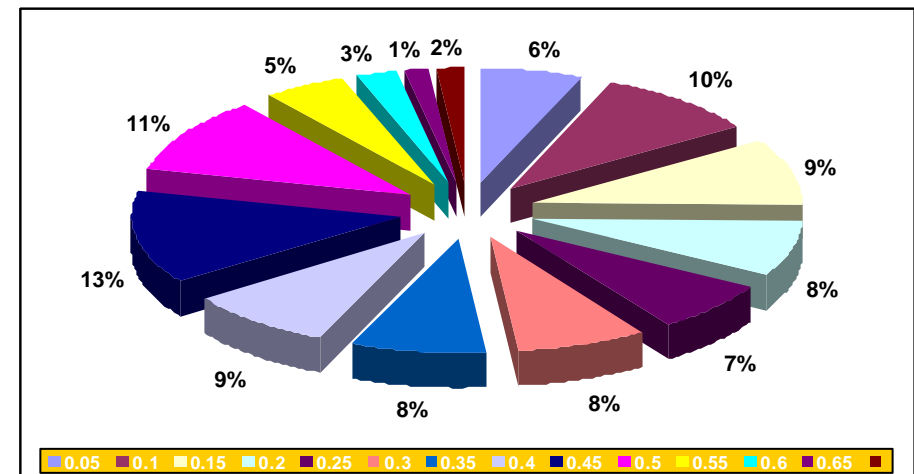
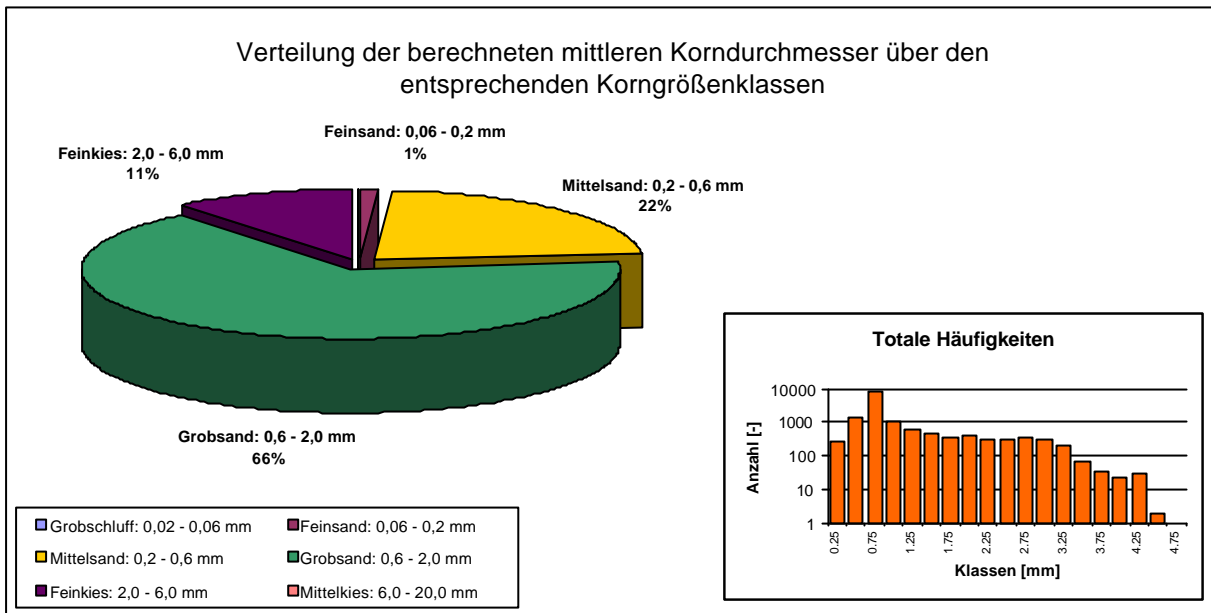
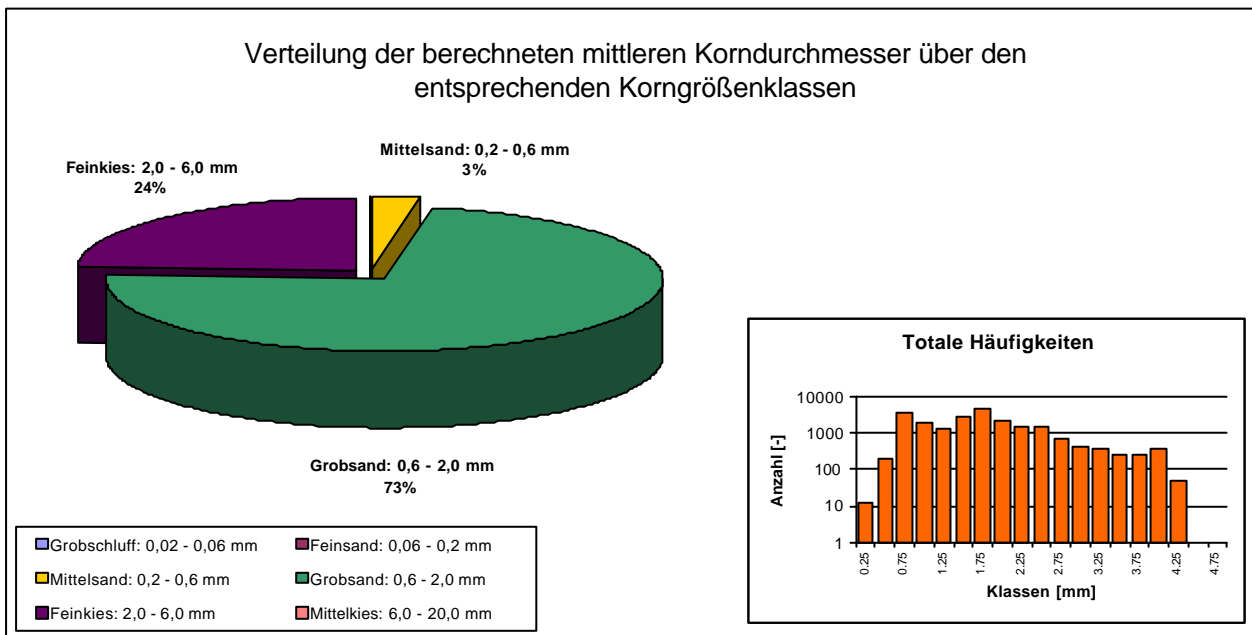


Abbildung 111: Geschwindigkeitsverteilung bei 419,9 am 08.12.1998

419



423



425